

Н
2013

**ФЕДЕРАЛЬНОЕ ГОСУДАРСТВЕННОЕ
БЮДЖЕТНОЕ ОБРАЗОВАТЕЛЬНОЕ
УЧРЕЖДЕНИЕ ВЫСШЕГО
ПРОФЕССИОНАЛЬНОГО ОБРАЗОВАНИЯ**

**«МОСКОВСКИЙ ГОСУДАРСТВЕННЫЙ
УНИВЕРСИТЕТ ПУТЕЙ СООБЩЕНИЯ»
МГУПС (МИИТ)**

**НАУЧНО-ПРАКТИЧЕСКАЯ
КОНФЕРЕНЦИЯ**

НЕДЕЛЯ НАУКИ – 2013

«НАУКА МИИТА – ТРАНСПОРТУ»

Т Р У ДЫ

**Под общей редакцией
профессора В.М. Круглова**

Москва – 2013

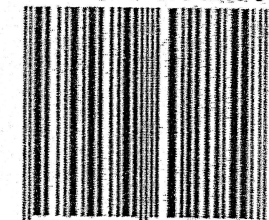
УДК 656.2

**Труды научно-практической конференции Неделя науки – 2013
«Наука МИИТа – транспорту». – М.: МГУПС (МИИТ), 2013.**

Представлены тезисы докладов студентов, аспирантов и молодых ученых – участников научно-практической конференции Неделя науки – 2013 «Наука МИИТа – транспорту», проходившей в 2013 г.

Компьютерная верстка С.У. Быкова

ISBN 978-5-7876-0215-9



9 785787 602159

© Московский государственный университет
путей сообщения (МГУПС (МИИТ), 2013)

СТРОИТЕЛЬСТВО И ИСКУССТВЕННЫЕ СООРУЖЕНИЯ

ОПРЕДЕЛЕНИЕ ПРОГИБОВ И УГЛОВ ПОВОРОТА С УЧЁТОМ ПОЛЗУЧЕСТИ

АНДРЕЯНОВА Е.О., БУШИН О.Ю., ОЛЕНИЧ Д.И.

Напряжения и деформации, возникающие в конструкции, изменяются во времени, даже если нагрузки остаются постоянными, то есть происходит так называемая ползучесть материала. Графики зависимости относительной деформации от времени при постоянных напряжениях и температуре называются кривыми ползучести. Эти кривые, как правило, имеют три участка рис.1.

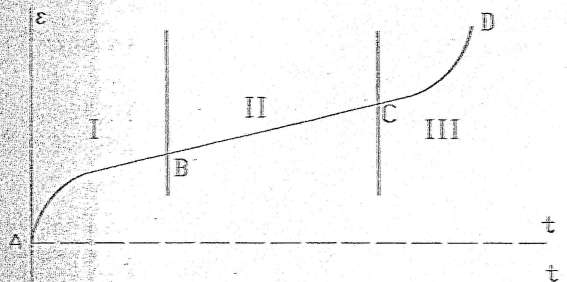


Рис.1 Кривая ползучести

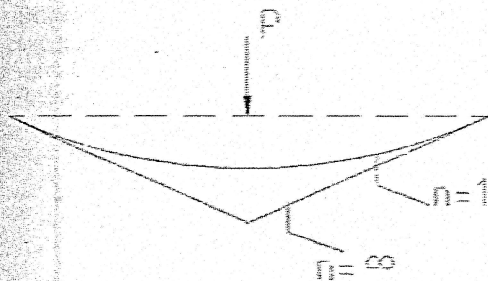


Рис. 2 Вид прогибов

Зависимости скорости деформации от напряжений могут быть описаны следующими соотношениями:

$$\varepsilon\sigma = A\sigma^n, \quad (1)$$

$$\dot{\varepsilon}(\sigma) = k \exp^{\frac{\sigma}{\sigma_0}}, \quad (2)$$

$$\dot{\varepsilon}(\sigma) = k s h \frac{\sigma}{s}, \quad (3)$$

где

A , k , n — постоянные величины при данной температуре.

Для вычислений будем пользоваться соотношением (1) для установившейся скорости ползучести:

$$\dot{\varepsilon} = A\sigma^n. \quad (4)$$

Пользуясь известной формулой из теории изгиба, и учитывая соотношение (4), получаем зависимость для скорости деформации:

$$\dot{\varepsilon} = \dot{x}y \quad (5),$$

где $x = \frac{1}{\rho}$, y — расстояние до нейтрального слоя.

$$\text{Так как } \dot{\varepsilon} = \frac{de}{dt}, \quad A\sigma^n = \dot{x}y, \quad (6),$$

$$\sigma = \left(\frac{\dot{x}y}{A}\right)^{\frac{1}{n}}, \quad (7)$$

Изгибающий момент в сечении: $M = \left(\frac{\dot{x}}{A}\right)^{\frac{1}{n}} \int_F y^{\frac{n+1}{n}} dF$, поскольку

$$M = \int_F \sigma y dF = \int_F \left(\frac{\dot{x}y}{A}\right)^{\frac{1}{n}} y dF \quad (8)$$

Введем понятие обобщенного момента инерции J_{nx} относительно оси x .

$$J_{nx} = \int_F y^{\frac{n+1}{n}} dF. \quad (9)$$

$$\text{С учётом формулы (9)} M = \left(\frac{\dot{x}}{MA}\right)^{\frac{1}{n}} J_{nx},$$

$$\dot{x} = \left(\frac{M}{J_{nx}}\right)^n A. \quad (10)$$

Сопоставляя (7) и (10) имеем:

$$\dot{x} = \left(\frac{M}{J_{nx}}\right)^n A. \quad (11)$$

Т.к. $\frac{1}{\rho} = x = \dot{x}t = \frac{d^2V}{dz^2}$, где V — прогиб оси балки.

Дифференциальное уравнение упругой оси будет иметь вид:

$$\frac{d^2V}{dz^2} = \dot{x}t = \left(\frac{M}{J_{nx}}\right)^n At. \quad (12)$$

Производная от прогиба:

$$\frac{dy}{dz} = \int_1 (\frac{M}{J_{nx}})^n A dz + C_1 \quad (13).$$

Интегрируя (13), найдём прогиб:

$$V = \int_1 dz \int_1 (\frac{M}{J_{nx}})^n A dz + C_1 z + D_1 \quad (14)$$

Константы С и D определяются из граничных условий и условий задачи.

Границные условия: $z=0: \frac{dy}{dz} = \varphi_0, C = \varphi_0, V = V_0, D = V_0$, тогда окончательно:

$V = \int_1 dz \int_1 (\frac{M}{J_{nx}})^n A dz + \varphi_0 z + V_0, \varepsilon = A\sigma^n, \varepsilon = \int A\sigma^n dt + c$, где $c = \varepsilon_0$ или $\varepsilon = \int A\sigma^n dt + \varepsilon_0$, после интегрирования найдём: $\varepsilon = B\sigma^n$, где $B = f(t)$ – функция от времени. Окончательно получим формулы для вычисления прогибов по участкам:

$$Z_1 = \frac{P^n \Theta (2x - 3l)^{n+2}}{2^{n(n+1)} J^n (n+1)(n+2)} + \frac{P^n \Theta l^{n+1} (2x - l) \left[(-1)^{n+1} \right]}{2^{2(n+1)} J^n (n+1)} \left[\frac{(-1)^{n+1}}{2} - 1 \right] - \frac{P^n \Theta l^{n+2}}{2^{2(n+1)} J^n (n+1)} \left[(-1)^{n+2} \left(\frac{n+3}{2n+4} \right) - 1 \right]$$

$$Z_2 = \frac{P^n \Theta (3l - 2x)^{n+2}}{2^{n(n+1)} J^n (n+1)(n+2)} - \frac{P^n \Theta l^{n+1} (3l - 2x) (-1)^{n+1}}{2^{2} J^n (n+1)} \left[\frac{(-1)^{n+1}}{2} - 1 \right] + \frac{P^n \Theta (-l)^{n+2}}{2^{2(n+1)} J^n (n+1)} \left[1 - \frac{1}{2(n+2)} \right].$$

Задача.

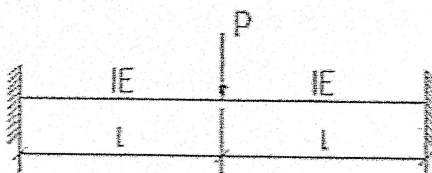


Рис.3 Схема балки

Выполним, в соответствии с изложенной теорией, вычисление прогиба для балки заделанной с двух сторон. Раскрывая статическую неопределенность балки методом сил, найдём лишние неизвестные: $X_1 = \frac{P}{2}$, $X_2 = \frac{Pl}{2}$.

Запишем уравнение упругой линии балки по участкам Z_1^H и Z_2^H :

$$Z_1^H = \frac{\Theta}{J_{nx}} \left(\frac{P}{2} x - \frac{Pl}{4} \right)^n = \frac{\Theta}{2^{2n}} \left(\frac{P}{J} \right)^n (2x - l)^n,$$

$$Z_2^H = \frac{P^n \Theta}{2^{2n} J^n} (3l - 2x)^n,$$

где Θ – функция времени и температуры. Интегрируя уравнения упругой линии получим уравнения для углов поворота:

$$Z_1^I = \frac{\Theta}{2^{2n+1}} \left(\frac{P}{J} \right)^n \frac{(2x - l)^{n+1}}{n+1} + C_1,$$

$$Z_2^I = - \frac{P^n \Theta (3l - 2x)^{n+1}}{2^{2n+1} J^n (n+1)} + C_3.$$

После повторного интегрирования получим формулы для прогибов:

$$Z_1 = \frac{\Theta (2x - l)^{n+2}}{2^{2(n+1)} (n+1)(n+2)} \left(\frac{P}{J} \right)^n + C_1 (2x - l)^n + C_2,$$

$$Z_2 = \frac{P^n \Theta (3l - 2x)^{n+2}}{2^{2(n+1)} J^n (n+1)(n+2)} + C_3 (3l - 2x) + C_4.$$

Произвольные постоянные найдем из граничных условий.

Границные условия:

$$x=0 \quad Z_1^I = 0 \quad Z_1 = 0, \quad x=l \quad Z_1^I = Z_2^I \quad Z_1 = Z_2,$$

$$Z_2^I = 0 \quad Z_2 = 0.$$

$$C_1 = \frac{P^n \Theta l^{n+1}}{2^{2(n+1)} J^n (n+1)} \left[\frac{(-1)^{n+1}}{2} - 1 \right];$$

$$C_2 = - \frac{P^n \Theta l^{n+2}}{2^{2(n+1)} J^n (n+1)} \left[(-1)^{n+2} \left(\frac{1}{2n+4} + \frac{1}{2} \right) - 1 \right];$$

$$C_3 = - \frac{P^n \Theta l^{n+1}}{2^{2n} J^n (n+1)} \left[\frac{(-1)^{n+1}}{2} \right];$$

$$C_4 = - \frac{P^n \Theta (-l)^{n+2}}{2^{2n} J^n (n+1)} \left[1 - \frac{1}{2(n+2)} \right]$$

Окончательные выражения для прогибов на каждом из участков балки имеют вид:

$$I \quad Z_1 = \frac{P^n \Theta (2x - 3l)^{n+2}}{2^{n(n+1)} J^n (n+1)(n+2)} + \frac{P^n \Theta l^{n+1} (2x - l) \left[\frac{(-1)^{n+1}}{2} - 1 \right]}{2^{2(n+1)} J^n (n+1)} - \frac{P^n \Theta l^{n+2}}{2^{2(n+1)} J^n (n+1)} \left[(-1)^{n+2} \left(\frac{n+3}{2n+4} \right) - 1 \right]$$

$$II \quad Z_2 = \frac{P^n \Theta (3l - 2x)^{n+2}}{2^{n(n+1)} J^n (n+1)(n+2)} - \frac{P^n \Theta l^{n+1} (3l - 2x) (-1)^{n+1}}{2^{2} J^n (n+1)} + \frac{P^n \Theta (-l)^{n+2}}{2^{2(n+1)} J^n (n+1)} \left[1 - \frac{1}{2(n+2)} \right]$$

Вывод: таким образом полученной формулой для прогибов с учетом их изменения с течением времени. При этом возможен учет изменения температуры. По этим формулам можно вычислять прогибы с учетом ползучести материала.

РАСЧЕТ ТРУБОПРОВОДОВ НА УСТОЙЧИВОСТЬ ПРИ ИХ СООРУЖЕНИИ БЕСТРАНШЕЙНЫМ СПОСОБОМ

БАЙНДУРОВА А.А., НОРМАН А.Г.

Исследование выполнено с целью проведения расчета трубопроводов на устойчивость движения. Трубопровод рассматривается как тело переменной массы движущейся по окружности с постоянной скоростью. Задача исследования устойчивости движения смоделирована как цикл задач в положений равновесия по числу внедряемых в породу секций трубопровода.